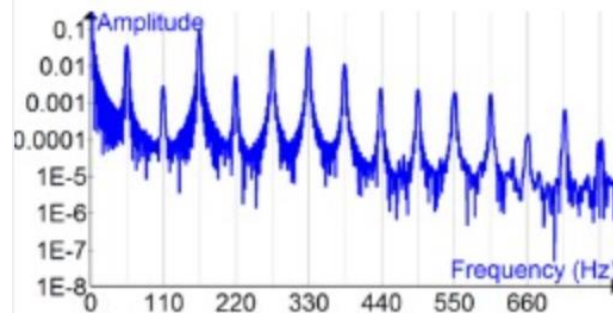
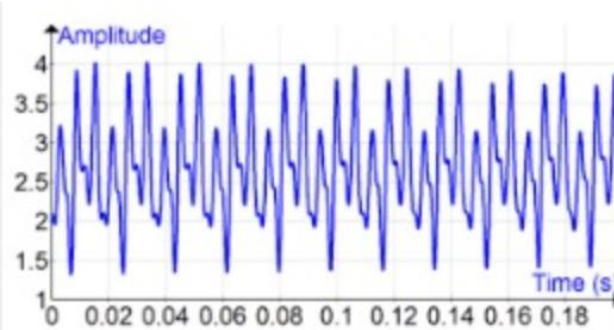


Elaborazione dei Segnali e Immagini

Analisi di Fourier
- Serie di Fourier
Gonzalez Cap.4-4.2.2



Analisi di Fourier

- L'analisi di Fourier formalizza matematicamente come passare dai segnali temporali (o spaziali) a quelli frequenziali *e viceversa*
- Argomenti:
 - Serie di Fourier
 - Trasformata di Fourier nel continuo
 - Trasformata di Fourier tempo-discreta
 - Trasformata di Fourier discreta (1D e 2D)

SERIE DI FOURIER

- Una funzione $f: \mathbb{R} \rightarrow \mathbb{R}$ di variabile continua t , periodica di periodo T , può essere espressa come:

$$f(t) = \sum_{n=-\infty}^{+\infty} c_n e^{j\frac{2\pi n}{T}t} \quad \text{per } n \in \mathbb{Z} \quad (1, \text{ sintesi})$$

i.e., una sommatoria di esponenziali complesse di frequenza *multiple* rispetto a quella fondamentale ($2\pi/T$) moltiplicate per i coefficienti $c_n \in \mathbb{C}$, dove:

$$c_n \in \mathbb{C} = \frac{1}{T} \int_{-\frac{T}{2}}^{\frac{T}{2}} f(t) e^{-j\frac{2\pi n}{T}t} dt \quad \text{per } n \in \mathbb{Z} \quad (2, \text{ analisi})$$

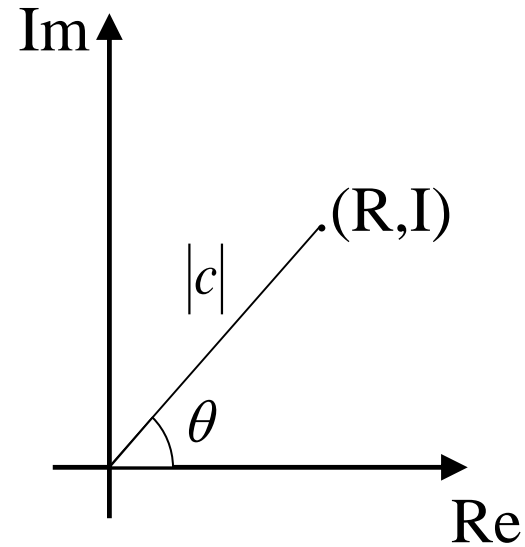
- Ricordiamo che:

$$c \in \mathbb{C} = \text{Re} + j \text{Im} \\ = |c| e^{j\theta}$$

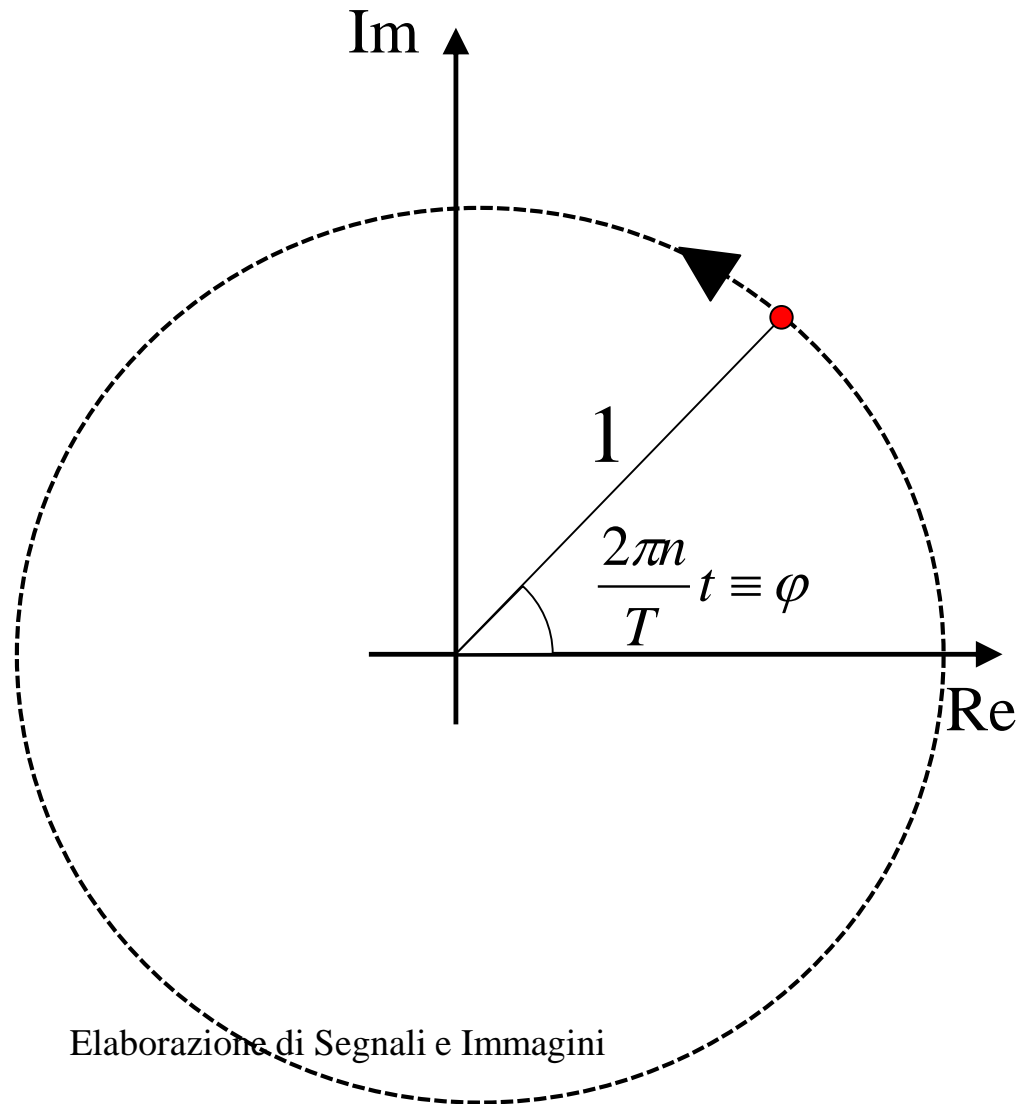
quindi

$$c_n = |c_n| e^{j\theta_n}$$

$$|c_n|, \theta_n \in \mathbb{R}$$



- Ricordiamo che $e^{j\frac{2\pi n}{T}t}$ è un fasore rotante di velocità angolare $\frac{2\pi n}{T}t$:



- Osserviamo quindi che

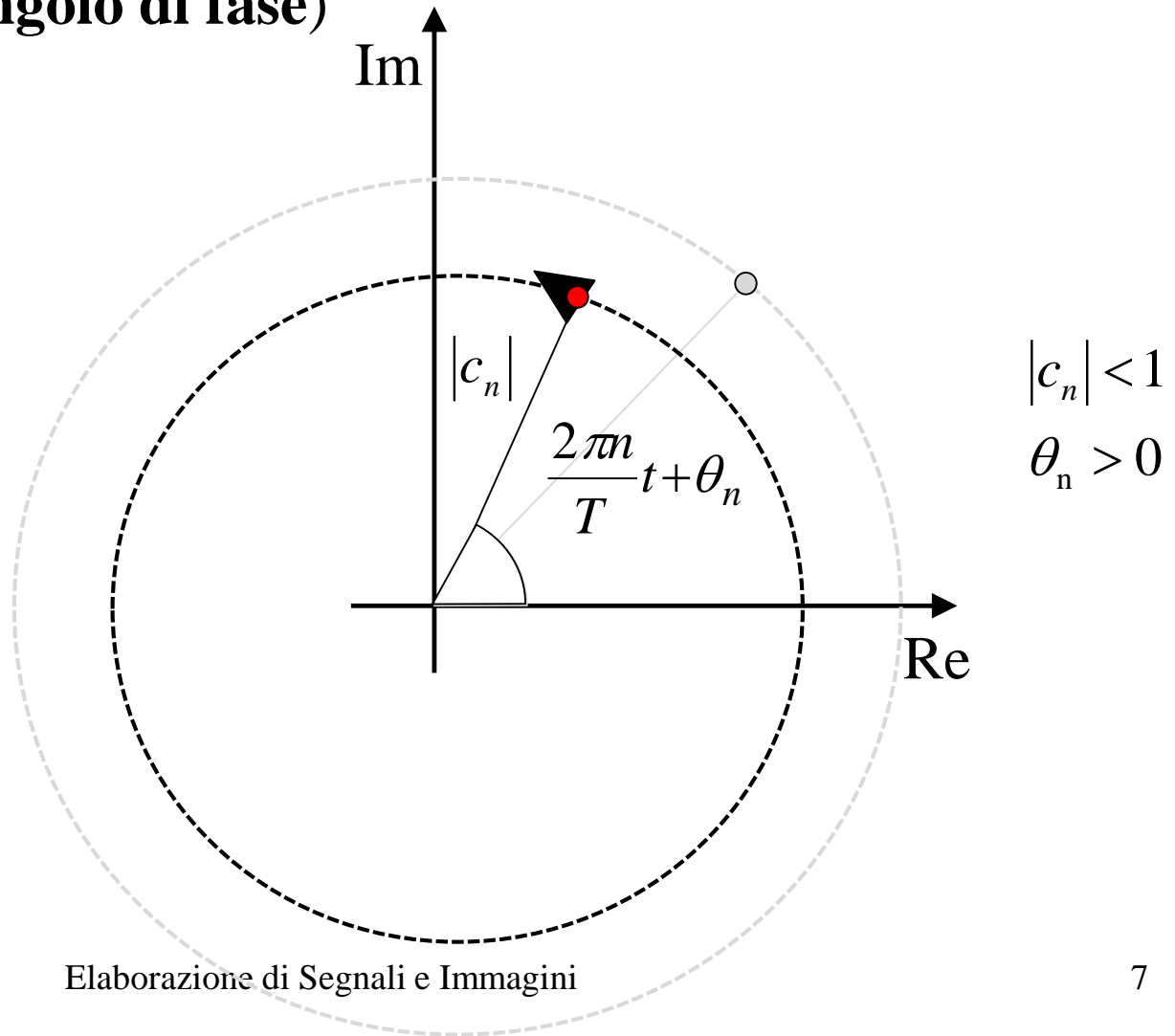
$$f(t) = \sum_{n=-\infty}^{+\infty} c_n e^{j\frac{2\pi n}{T}t}$$

- è una somma di infiniti termini
- ogni termine vede la moltiplicazione tra un numero complesso ed un fasore, che *produce un altro fasore*

$$c_n e^{j\frac{2\pi n}{T}t} = |c_n| e^{j\theta_n} e^{j\frac{2\pi n}{T}t} = |c_n| e^{j\frac{2\pi n}{T}t + \theta_n}$$

- questo in pratica corrisponde a **estendere** il fasore $e^{j\frac{2\pi n}{T}t}$ ad una lunghezza $|c_n|$ facendolo partire con **un angolo di partenza** pari a θ_n (detto **angolo di fase**)

$$|c_n| e^{j\frac{2\pi n}{T}t + \theta_n}$$



- Notiamo che:
 - c_n può appartenere agli \mathbb{R} , nel qual caso significa che θ_n non compare, avendo quindi solo un cambiamento nella lunghezza dell'n-esimo fasore pari a $|c_n|$

$$c_n = |c_n| \cancel{e^{j\theta_n}}$$

$$c_n e^{j\frac{2\pi n}{T}t} = |c_n| \cancel{e^{j\theta_n}} e^{j\frac{2\pi n}{T}t} = |c_n| e^{j\frac{2\pi n}{T}t + \cancel{\theta_n}}$$

$$f(t) = \sum_{n=-\infty}^{+\infty} c_n e^{j\frac{2\pi n}{T}t}$$

sintesi



analisi

$$c_n \in \mathbb{C} = \frac{1}{T} \int_{-\frac{T}{2}}^{\frac{T}{2}} f(t) e^{-j\frac{2\pi n}{T}t} dt$$

- Un primo esempio di serie di Fourier è per il segnale trigonometrico $f(t) = \cos(2\pi t)$ ($T=1$)
- Ottengo (dimostrazione come materiale aggiuntivo, lunga)

$$c_{-1} = \frac{1}{2}, \quad c_0 = 0, \quad c_1 = \frac{1}{2}, \quad c_{i \leq -2, i \geq 2} = 0$$

- e sostituendo in (1)

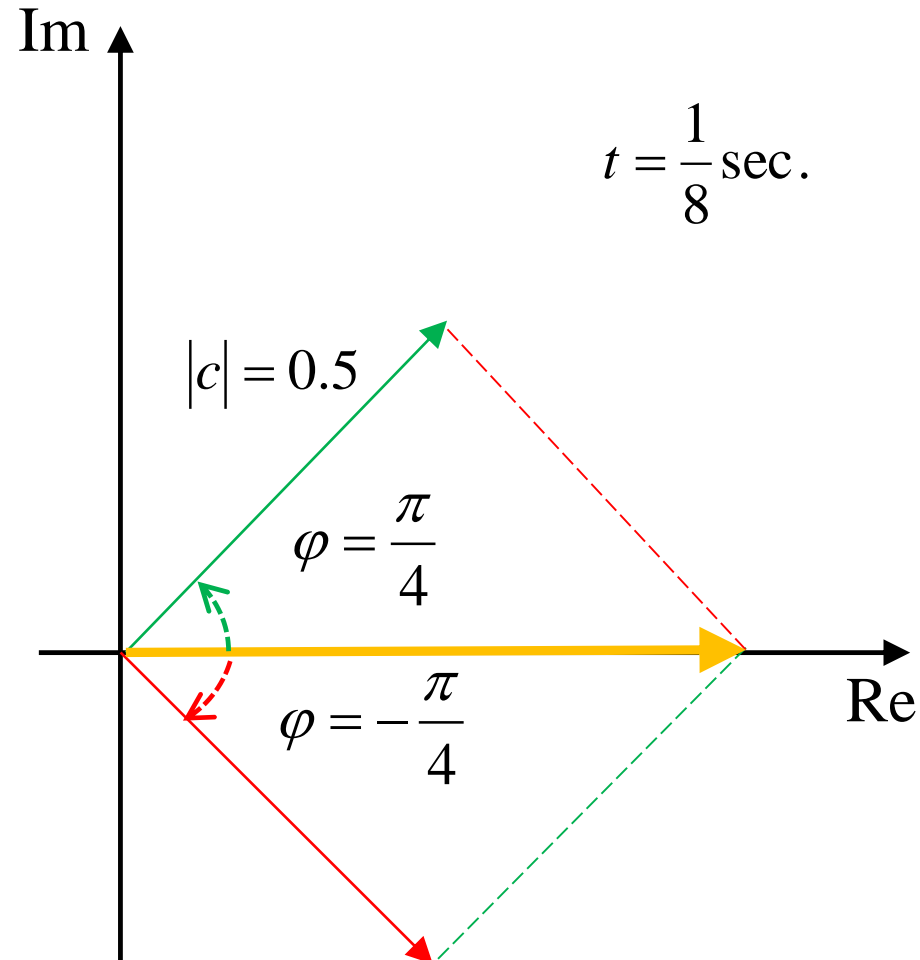
$$\cos(2\pi t) = \frac{1}{2} e^{-j2\pi t} + \frac{1}{2} e^{j2\pi t} = \frac{e^{j2\pi t} + e^{-j2\pi t}}{2}$$

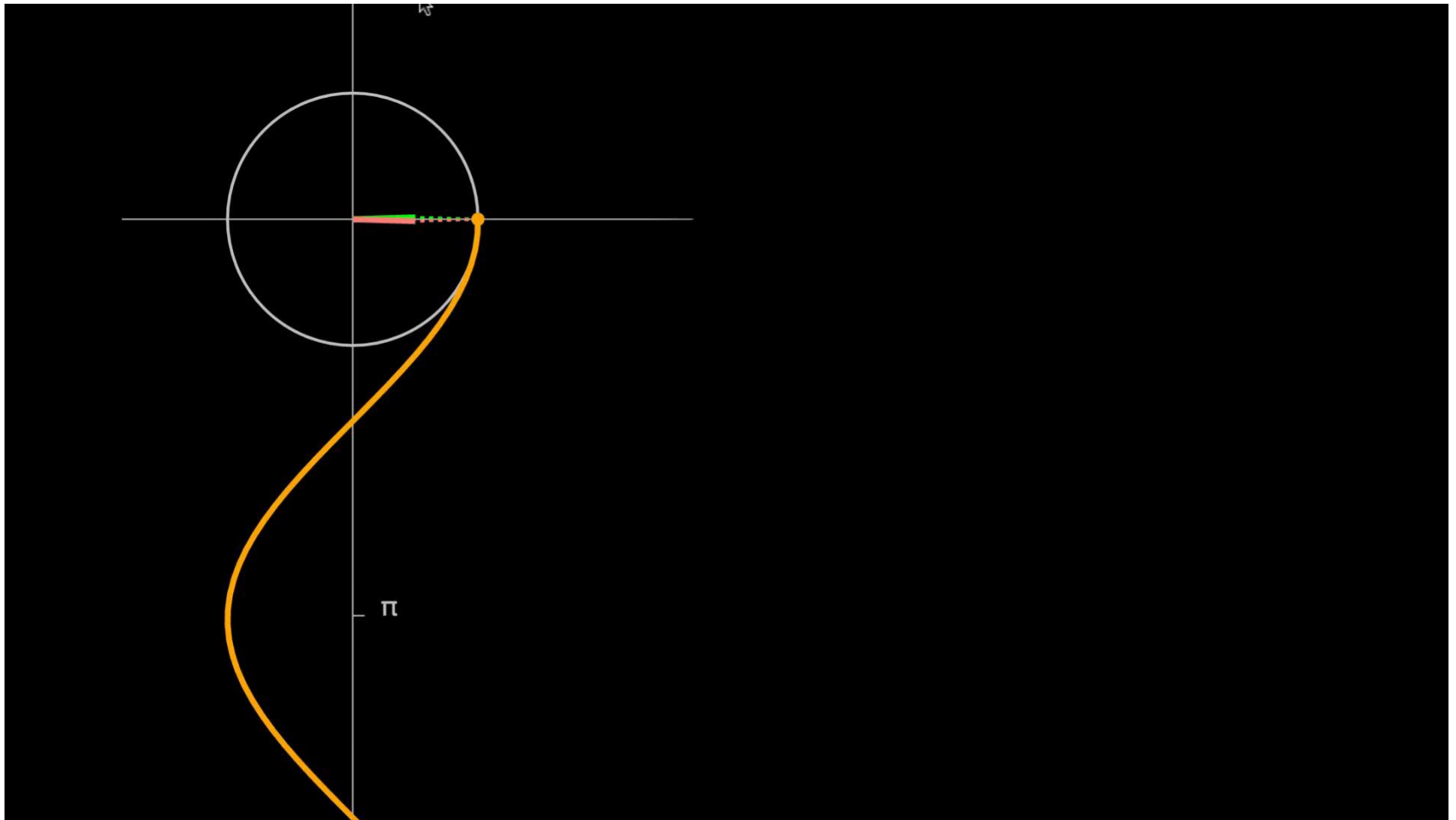
- Tre cose:

$$1) \quad \frac{2\pi}{T} = f_0 \quad 2) \quad c_n = |c_n| e^{j\theta_n} \quad 3) \text{ in questo caso, } c_n \in \mathbb{R} \text{ quindi l'angolo di fase non è presente}$$

$$\cos 2\pi t = \frac{1}{2} e^{-j2\pi t} + \frac{1}{2} e^{j2\pi t}$$

- $\frac{1}{2} e^{j2\pi t}$ è un fasore di modulo 0.5
e angolo $2\pi t$
- $\frac{1}{2} e^{-j2\pi t}$ è un fasore di modulo 0.5
e angolo $-2\pi t$
- La freccia verde rappresenta il valore assunto da $\cos 2\pi t$ per $t=1/8$
- *Immaginate l'avanzare del tempo...*





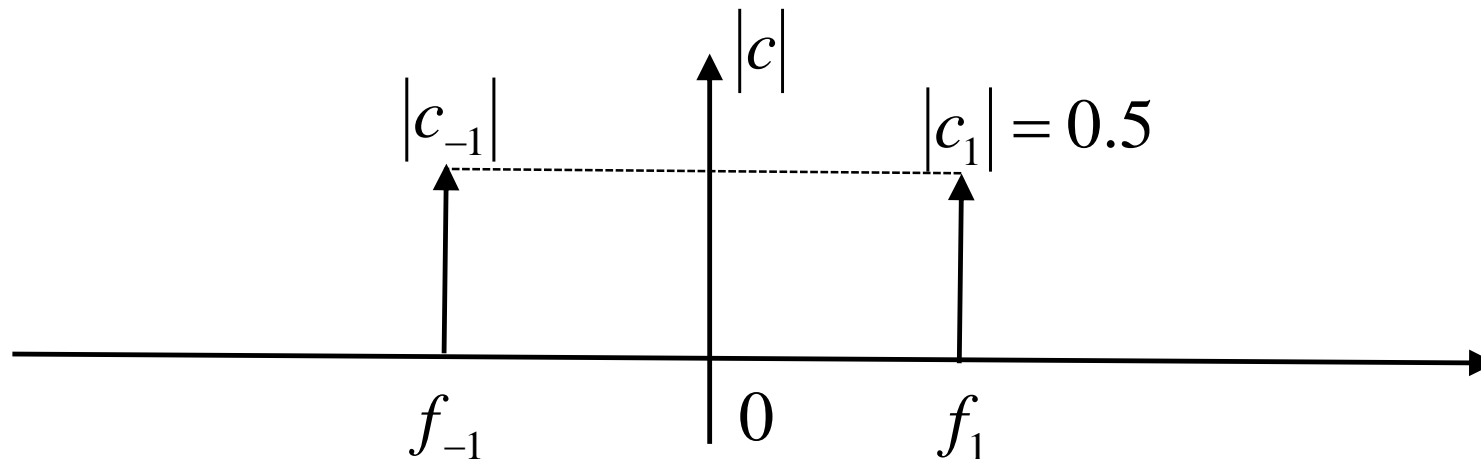
<https://www.khanacademy.org/science/electrical-engineering/ee-circuit-analysis-topic/ee-ac-analysis/v/ee-euler-cosine>

- I coefficienti $c_{n=-1}$, $c_{n=1}$ sono relativi ai **moduli o ampiezze** dei fasori complessi di frequenza $f_0 \cdot n$, $n = -1, 1$ ricordando che

$$e^{j\left(\frac{2\pi n}{T}t\right)} = e^{j(f_0 n t)}$$

che possiamo abbreviare in f_{-1}, f_1

- Possiamo quindi disegnare lo **spettro di ampiezza**



- Il secondo esempio di serie di Fourier è il segnale trigonometrico $f(t) = \sin(2\pi t)$ ($T=1$)
- Ottengo (analogamente a quanto succede per $\cos(2\pi t)$)

$$c_{-1} = \frac{1}{2j}, \quad c_0 = 0, \quad c_1 = -\frac{1}{2j}, \quad c_{i \leq -2, i \geq 2} = 0$$

dove questa volta $c_n \in \mathbb{C}$ ed in particolare

$$\pm \frac{1}{2j} = \pm \frac{1}{2j} \cdot \frac{j}{j} = \pm \frac{1}{2} \cdot \frac{j}{j^2} = j \cdot \mp \frac{1}{2}$$

passo alla forma di esponenziale complesso (vedi Es. 2.1-2.2)

Rettangolare

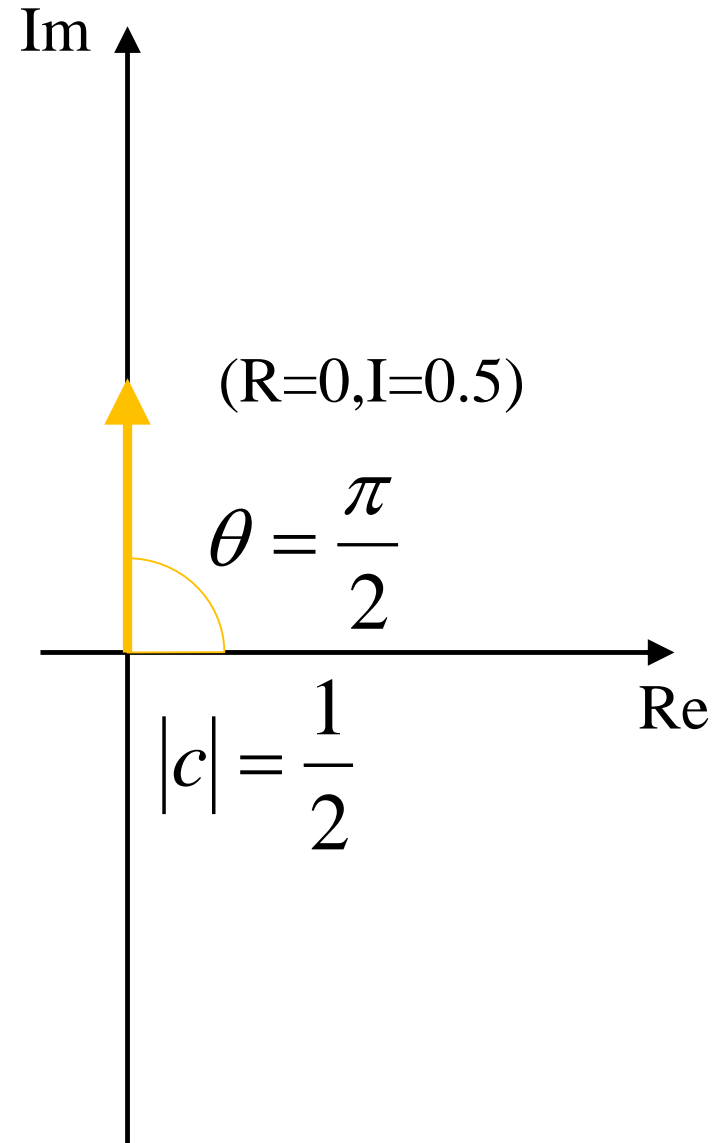
$$j \cdot \frac{1}{2} = 0 + j \cdot \frac{1}{2}$$

$$|c| = \sqrt{0^2 + \left(\frac{1}{2}\right)^2} = \frac{1}{2}$$

$$\theta = \operatorname{arctg}(0.5/0) \rightarrow \frac{\pi}{2}$$

*Esponenziale
complessa*

$$\frac{1}{2} e^{j \cdot \frac{\pi}{2}} = c_{-1}$$

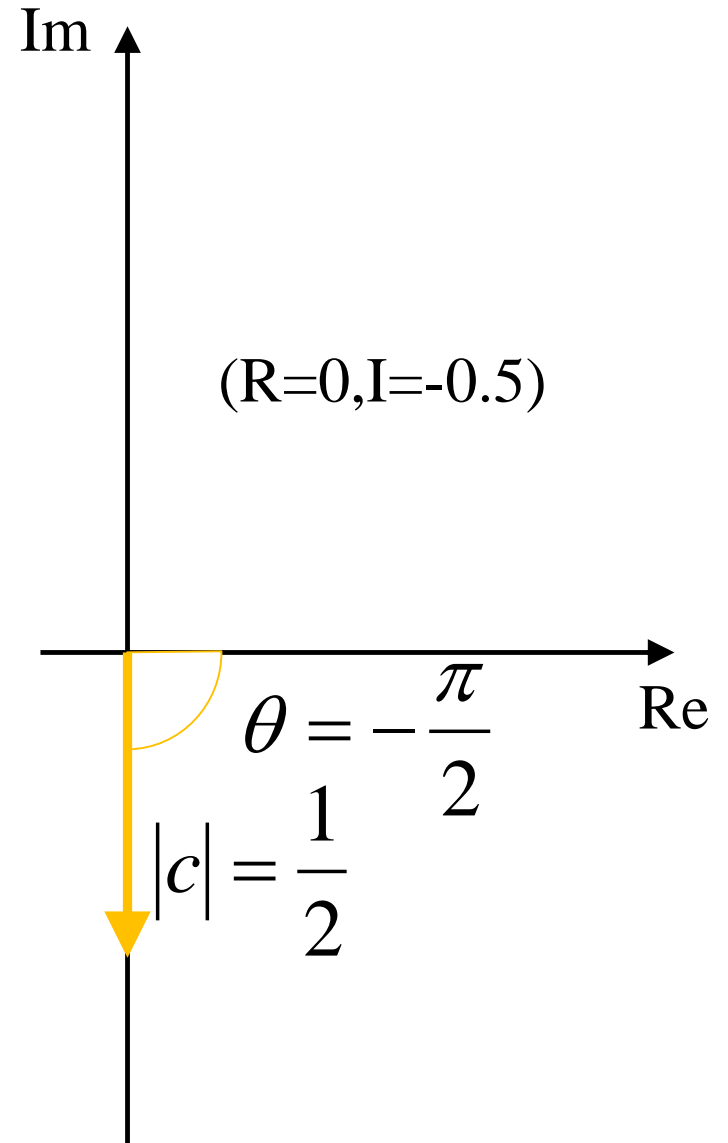


Rettangolare $j \cdot -\frac{1}{2} = 0 + j \cdot -\frac{1}{2}$

$$|c| = \sqrt{0^2 + \left(-\frac{1}{2}\right)^2} = \frac{1}{2}$$

$$\theta = \operatorname{arctg}(-0.5/0) \rightarrow -\frac{\pi}{2}$$

*Esponenziale
complessa* $\frac{1}{2} e^{j \cdot -\frac{\pi}{2}} = c_1$

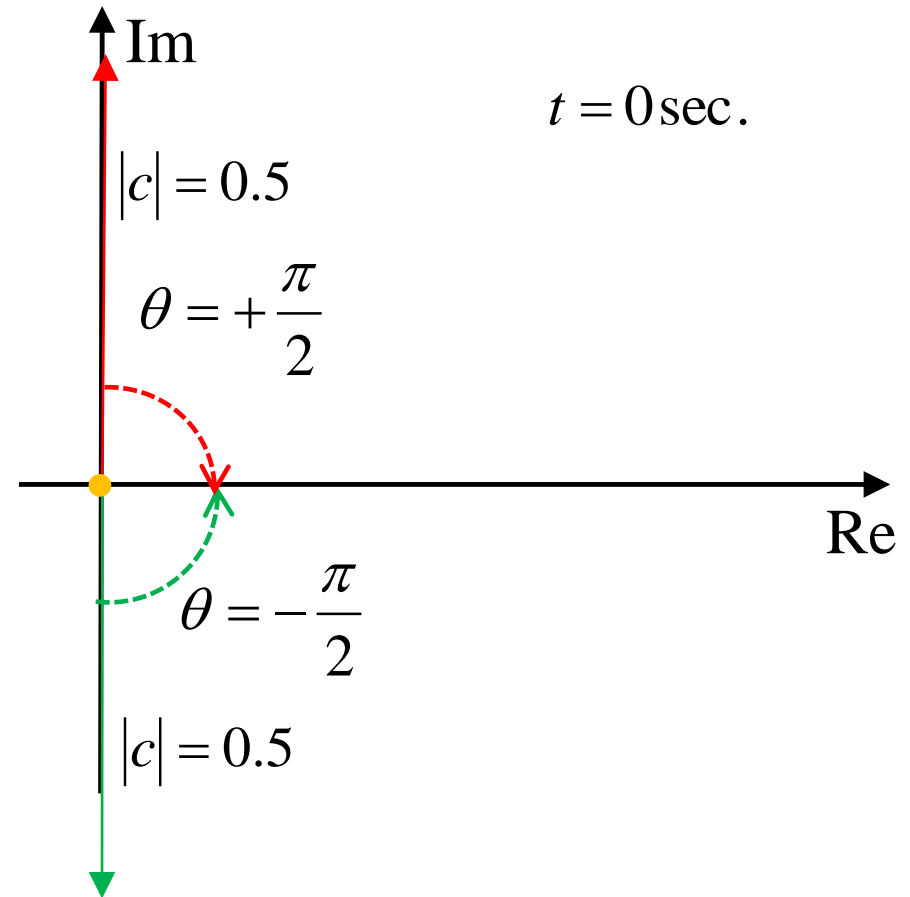


$$\boxed{\sin 2\pi t} = \sum_{n=-\infty}^{+\infty} c_n e^{j\frac{2\pi n}{T}t}$$

$$= c_{-1} e^{j-2\pi t} + c_1 e^{j2\pi t}$$

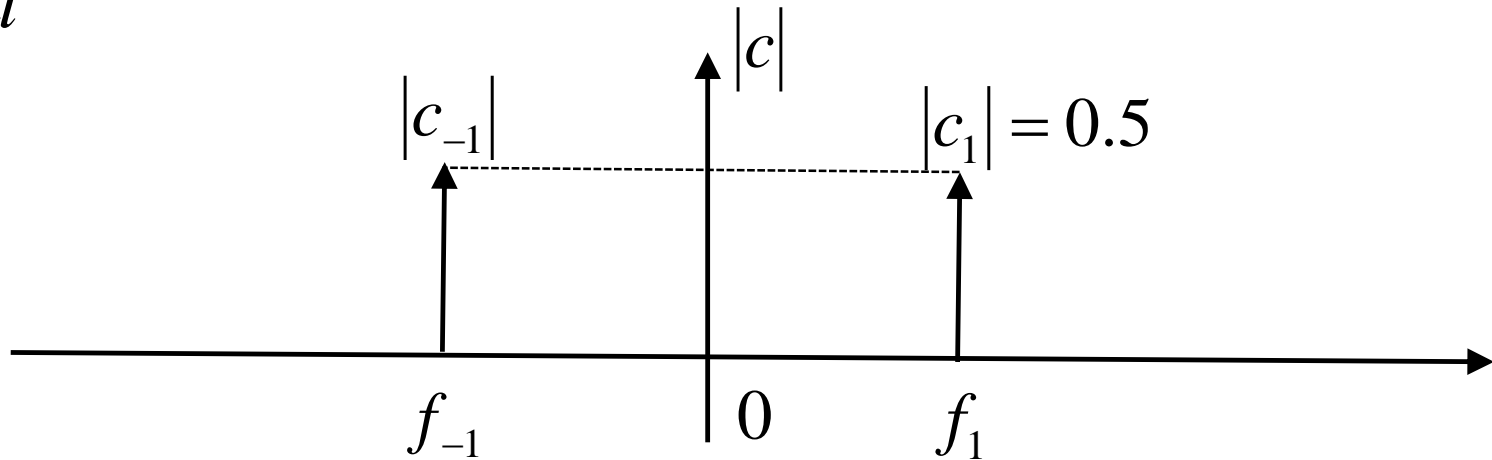
$$= \frac{1}{2} e^{j\frac{\pi}{2}} e^{j-2\pi t} + \frac{1}{2} e^{j\frac{-\pi}{2}} e^{j2\pi t}$$

$$= \boxed{\frac{1}{2} e^{j\left(-2\pi t + \frac{\pi}{2}\right)}} + \boxed{\frac{1}{2} e^{j\left(2\pi t - \frac{\pi}{2}\right)}}$$

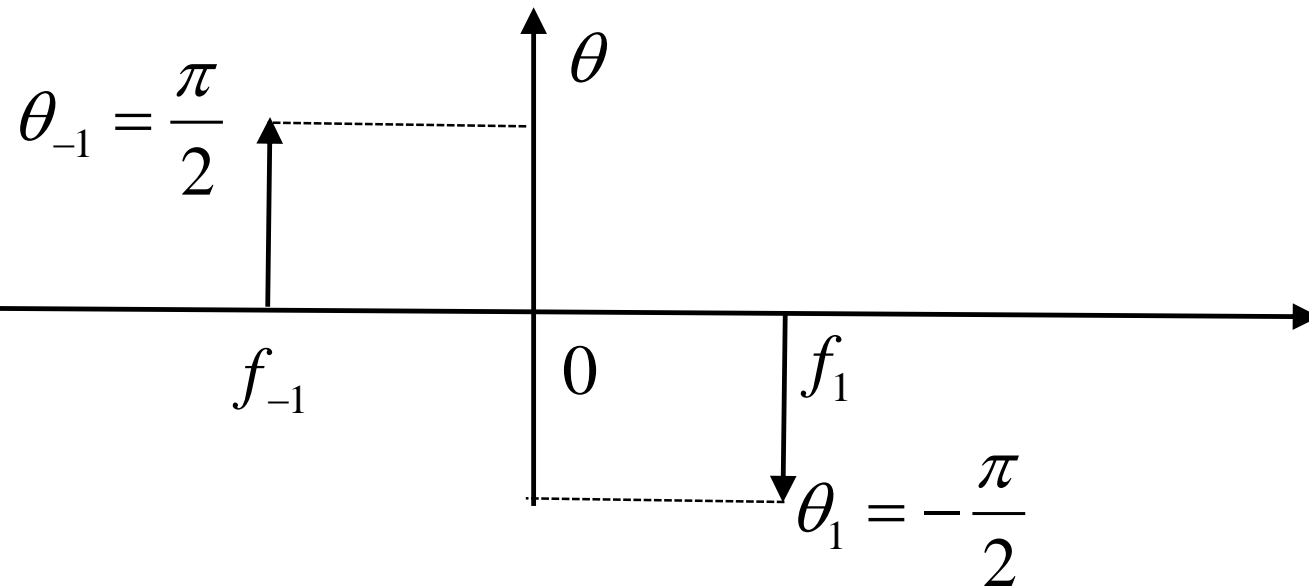


- Come prima, possiamo disegnare lo spettro di ampiezza e un nuovo grafico, chiamato **spettro di fase**, che riporta gli angoli di fase per $\sin 2\pi t$

**spettro di
ampiezza**



**spettro di
fase**



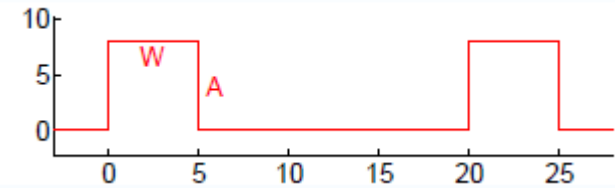
PROPRIETA' DELLA SERIE DI FOURIER

- Lo spettro di ampiezza e di fase sono *funzioni nel dominio delle frequenze* che formano *lo spettro di Fourier*
- Lo spettro di Fourier *per i segnali periodici* gode delle seguenti proprietà:
 - Lo spettro di *ampiezza* è *simmetrico* rispetto all'asse y
 - Lo spettro di *fase* è *antisimmetrico* rispetto all'asse y
 - Se i coefficienti c_n sono reali, non esiste lo spettro di fase
 - Entrambe gli spettri sono funzioni a pettine, definite su frequenze *multiple* rispetto a quella fondamentale

$$\left\{ \frac{2\pi n}{T} \right\}_{n \in \mathbb{Z}} = \{f_0 \cdot n\}_{n \in \mathbb{Z}} \equiv \{f_n\}_{n \in \mathbb{Z}}$$

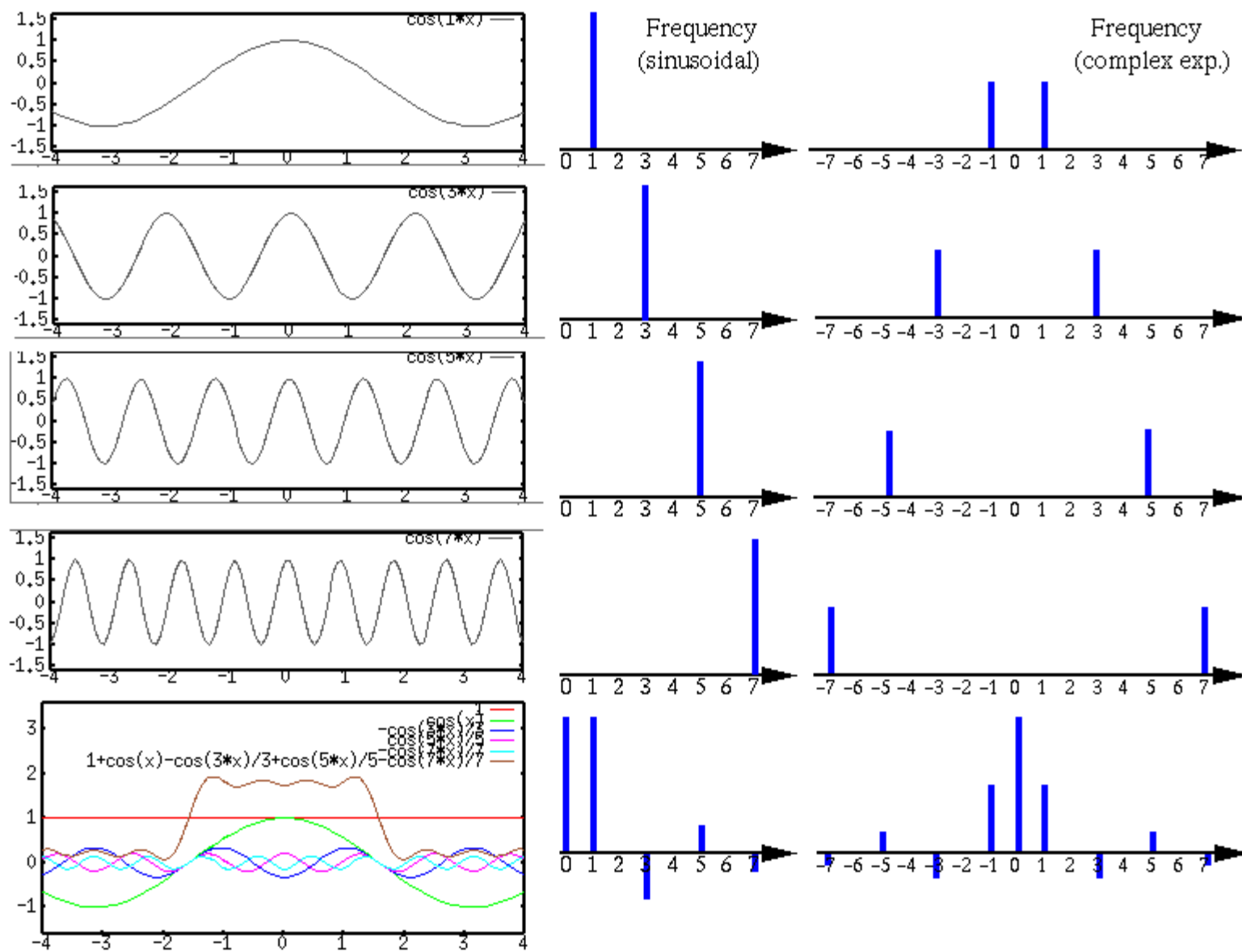
● *esercizio alla lavagna E3.1*

- Esempio per un segnale onda quadra
- Anch'esso è periodico, e quindi può essere calcolato come serie di Fourier
- Qui a lato, alcuni dei coefficienti
- Si notino le proprietà di cui sopra
- Date le relazioni di simmetria, posso usare la metà (più uno in 0) dei fasori per illustrare il processo di sintesi (Eq.1)

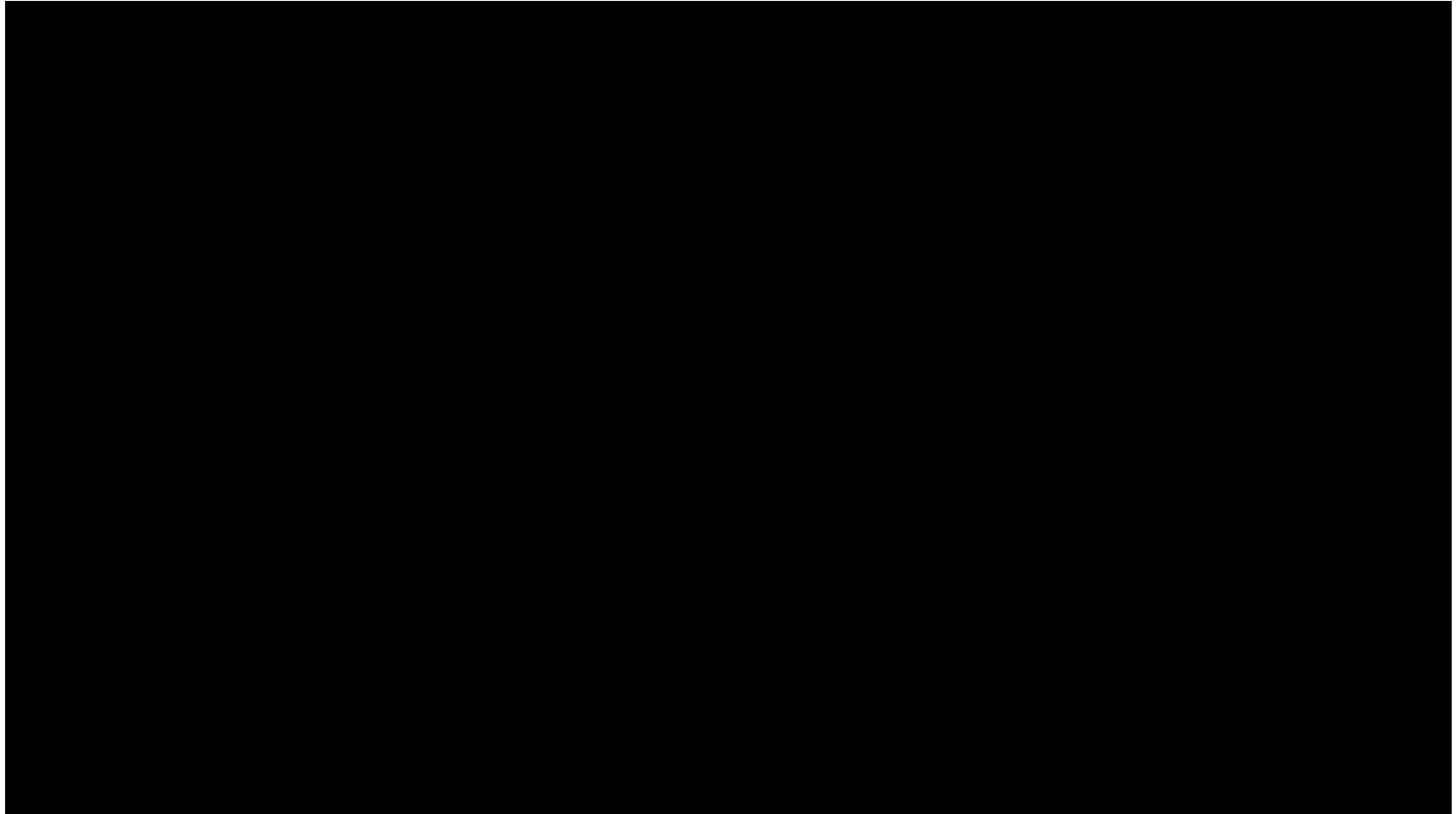


n	C_n
-6	$i \frac{8}{6\pi}$
-5	$\frac{4}{5\pi} + i \frac{4}{5\pi}$
-4	0
-3	$\frac{-4}{3\pi} + i \frac{4}{3\pi}$
-2	$i \frac{8}{2\pi}$
-1	$\frac{4}{\pi} + i \frac{4}{\pi}$
0	2
1	$\frac{4}{\pi} + i \frac{-4}{\pi}$
2	$i \frac{-8}{2\pi}$
3	$\frac{-4}{3\pi} + i \frac{-4}{3\pi}$
4	0
5	$\frac{4}{5\pi} + i \frac{-4}{5\pi}$
6	$i \frac{-8}{6\pi}$

Alcuni risultati



$$f(t) = \sum_{n=-\infty}^{+\infty} c_n e^{j\frac{2\pi n}{T}t}$$



https://jackschaedler.github.io/circles-sines-signals/dft_introduction.html